



УДК 539.3

© 2012

В. Н. Бастун

К оценке нижней границы интервала рассеяния предельных напряжений в элементах оболочечных конструкций

(Представлено академиком НАН Украины Я. М. Григоренко)

Предложен подход к оценке нижней границы интервала рассеяния предельных напряжений в элементах оболочечных конструкций в вероятностной постановке на основе корреляционной связи параметров разброса границы прочности с характеристиками пластичности материала. В качестве примера рассмотрена тонкостенная круговая цилиндрическая оболочка, изготовленная из высокопрочной стали мартенситного класса и нагруженная осевой растягивающей силой и внутренним давлением.

В процессе эксплуатации материал многих элементов конструкций в результате воздействия ряда факторов (усталость при циклическом деформировании, наличие агрессивной окружающей среды, накопление микроповреждений) претерпевает структурные изменения, приводящие к деградации его механических свойств, увеличению разброса значений предельных напряжений, охрупчиванию. Сказанное подтверждается увеличением в результате наработки разброса характеристик твердости [1], которые тесно коррелируют с характеристиками прочности. Заметим, что охрупчивание материала может быть обусловлено также работой конструкции в условиях сложного напряженного состояния [2, 3] и низких температур [4], воздействием радиационного облучения [5, 6]. Вследствие возможности существенного увеличения интервала разброса прочностных свойств материала в процессе эксплуатации конструкции актуальной является оценка величины этого интервала, что позволяет устанавливать величину запаса прочности по отношению к нижнему значению предела прочности, т. е. по нижней границе прочности, а не по отношению к его среднему значению.

Ниже рассматривается подход к оценке нижней границы интервала рассеяния предельных (разрушающих) напряжений в элементах оболочечных конструкций в вероятностной постановке на основе корреляционной связи параметров разброса предела прочности с пластичностью материала. Полагаем, что значения предела прочности σ_b есть случайные величины, их рассеяние является следствием статистического распределения дефектов и подчиняется нормальному закону распределения, а величина интервала рассеяния определяется

уровнем пластичности материала. Согласно этому закону, функция F распределения случайной величины x имеет вид [7]

$$F(x) = \frac{1}{D_x \sqrt{2\pi}} \int_{-\infty}^x \exp \left[-\frac{(x - \bar{m}_x)^2}{2D_x^2} \right] dx. \quad (1)$$

Здесь \bar{m}_x — математическое ожидание; D_x — среднее квадратичное отклонение (стандарт).

Значения этих параметров находятся экспериментально на основании испытаний представительной партии образцов по формулам

$$\bar{m}_x = \frac{\sum_{i=1}^k x_i n_i}{N}; \quad D_x = \left[\frac{\sum_{i=1}^k (x_i - \bar{m}_x)^2}{\sum_{i=1}^k n_i - 1} \right]^{1/2}, \quad (2)$$

где n_i — абсолютная частота в данном интервале значений x_i .

Построение нижней границы интервала рассеяния предельных напряжений рассмотрим на примере гладкой круговой цилиндрической оболочки, нагруженной осевой растягивающей силой P и внутренним давлением p . При этом в стенке оболочки возникает двухосное напряженное состояние, характеризуемое продольным σ_z и поперечным σ_θ напряжениями, которые определяются по формулам

$$\sigma_z = \frac{P}{\pi(D-h)h} + \frac{p(D-2h)}{2h}, \quad \sigma_\theta = \frac{p(D-2h)}{2h}, \quad (3)$$

где D — наружный диаметр оболочки; h — толщина стенки.

Полагая, что в исходном состоянии материал изотропен и наступление разрушения определяется условием постоянства энергии формоизменения, граница интервала рассеяния значений предельных напряжений будет описываться уравнением

$$\sigma_z^2 - \sigma_z \sigma_\theta + \sigma_\theta^2 = \sigma_b^2. \quad (4)$$

Здесь σ_b — предел прочности материала. Тогда нижнюю границу интервала рассеяния предельных напряжений можно построить, вычитая из каждой точки границы прочности (4) величину вероятностного интервала рассеяния δ . Величина интервала рассеяния в рассматриваемом случае напряженного состояния определяется как $K D_{\sigma_{вз}}(\bar{\varepsilon}_3^p)$, где $D_{\sigma_{вз}}$ — стандарт предельного (разрушающего) эквивалентного напряжения $\sigma_{вз}$, являющийся функцией предельного значения эквивалентной пластической деформации $\bar{\varepsilon}_3^p$; K — коэффициент, характеризующий величину разброса предельных напряжений и определяемый принятым вероятностным уровнем события Q . Так, например, при вероятности события $Q = 95\%$ $K = 2$, а при $Q = 99\%$ $K = 3$ [8]. Предельное эквивалентное напряжение $\sigma_{вз}$ и эквивалентная пластическая деформация $\bar{\varepsilon}_3^p$ определяются по формулам [3]

$$\sigma_{вз} = [(\sigma_z^{pp})^2 - \sigma_z^{pp} \sigma_\theta^{pp} + (\sigma_\theta^{pp})^2]^{1/2}, \quad (5)$$

$$\bar{\varepsilon}_3^p = \frac{2}{\sqrt{3}} [(\bar{\varepsilon}_z^p)^2 + \bar{\varepsilon}_z^p \bar{\varepsilon}_\theta^p + (\bar{\varepsilon}_\theta^p)^2]^{1/2}, \quad (6)$$

где σ_z^{np} и $\sigma_\theta^{\text{np}}$ — предельные значения осевого и окружного напряжений; $\bar{\varepsilon}_z^p$ и $\bar{\varepsilon}_\theta^p$ — равномерные составляющие остаточных продольной и поперечной деформаций. Заметим, что в случае одноосного растяжения, например, в направлении оси z (при этом $\sigma_\theta = 0$ и $\bar{\varepsilon}_\theta^p = -(1/2)\bar{\varepsilon}_z^p$) имеем $\sigma_{\text{вз}} = \sigma_z^{\text{np}} = \sigma_{\text{в}}$, $\bar{\varepsilon}_3^p = \bar{\varepsilon}_z^p$.

Зависимость приведенного стандарта $\bar{D}_{\sigma_{\text{вз}}} = D_{\varepsilon_{\text{вз}}}/D_{\varepsilon_{\text{вз}}|\bar{\varepsilon}_3^p=0,03}$ от эквивалентной пластической деформации описывается полученным эмпирическим путем уравнением вида

$$\bar{D}_{\sigma_{\text{вз}}} = \frac{1}{a + b\bar{\varepsilon}_3^p}, \quad (7)$$

где a и b — коэффициенты, зависящие от свойств материала. Здесь величина $\bar{\varepsilon}_3^p$ является функцией вида напряженного состояния q , характеризуемого соотношением σ_z/σ_θ , и может быть определена из условия нарушения устойчивости процесса упруго-пластического деформирования.

Нарушение устойчивости процесса деформирования в рассматриваемом случае произойдет при выполнении одного из условий: $dP = 0$ или $dp = 0$. Величины P и p , полагая $h \ll D$, определяются из (3) следующим образом:

$$P = \frac{\pi}{2}(2q - 1)hD\sigma_\theta; \quad p = \frac{2h\sigma_\theta}{D}.$$

Тогда при условии $dP = 0$ получаем:

$$\frac{dD}{D} + \frac{dh}{h} + \frac{d\sigma_\theta}{\sigma_\theta} = 0. \quad (8)$$

Вводя обозначения $dD/D = d\varepsilon_\theta^p$ и $dh/h = d\varepsilon_r^p$ (здесь $d\varepsilon_r^p$ — приращение радиальной составляющей пластической деформации), выражение (8) представим в виде

$$d\varepsilon_\theta^p + d\varepsilon_r^p + \frac{d\sigma_\theta}{\sigma_\theta} = 0. \quad (9)$$

С учетом условия несжимаемости равенство (9) упростится и запишется так:

$$d\varepsilon_\theta^p = \frac{d\sigma_\theta}{\sigma_\theta}. \quad (10)$$

Из (6) следует

$$\varepsilon_\theta^p = \frac{\sqrt{3}}{2} \frac{\bar{\varepsilon}_3^p}{\sqrt{\left(\frac{\bar{\varepsilon}_z^p}{\bar{\varepsilon}_\theta^p}\right)^2 + \frac{\bar{\varepsilon}_z^p}{\bar{\varepsilon}_\theta^p} + 1}},$$

отсюда

$$d\varepsilon_\theta^p = \frac{\sqrt{3}}{2} \frac{d\bar{\varepsilon}_3^p}{\sqrt{\left(\frac{\bar{\varepsilon}_z^p}{\bar{\varepsilon}_\theta^p}\right)^2 + \frac{\bar{\varepsilon}_z^p}{\bar{\varepsilon}_\theta^p} + 1}}. \quad (11)$$

Связь между величинами $\bar{\varepsilon}_z^p/\bar{\varepsilon}_\theta^p$ и $\sigma_z/\sigma_\theta = q$ установим, распространяя форму записи обобщенного закона Гука на пластическую область и полагая коэффициент поперечной деформации равным 0,5. Тогда получим

$$\frac{\bar{\varepsilon}_z^p}{\bar{\varepsilon}_\theta^p} = \frac{2q - 1}{2 - q}, \quad (12)$$

откуда

$$q = \frac{2\bar{\varepsilon}_z^p + \bar{\varepsilon}_\theta^p}{\bar{\varepsilon}_z^p + 2\bar{\varepsilon}_\theta^p}. \quad (13)$$

Отсюда на основании (11) с учетом (12) следует

$$\bar{\varepsilon}_z^p = \frac{(2q - 1)\bar{\varepsilon}_\theta^p}{2\sqrt{q^2 - q + 1}}; \quad d\bar{\varepsilon}_z^p = \frac{(2q - 1)d\bar{\varepsilon}_\theta^p}{2\sqrt{q^2 - q + 1}}. \quad (14)$$

Подставляя в (10) значение $d\bar{\varepsilon}_z^p$ из (14), а также σ_θ , найденное из (5), а также соответствующее значение $d\sigma_\theta$, находим:

$$\frac{d\sigma_\theta}{d\bar{\varepsilon}_\theta^p} = \frac{2q - 1}{2\sqrt{q^2 - q + 1}}. \quad (15)$$

Чтобы избежать неопределенности при $q \rightarrow \infty$, введем обозначение $q = 1/m$. Тогда на основании (15) получим

$$\frac{d\sigma_\theta}{d\bar{\varepsilon}_\theta^p} = \frac{(2 - m)\sigma_\theta}{2\sqrt{m^2 - m + 1}}. \quad (16)$$

Условию $dp = 0$ соответствует уравнение

$$\frac{dh}{h} + \frac{d\sigma_\theta}{\sigma_\theta} - \frac{dD}{D} = 0. \quad (17)$$

Согласно принятым обозначениям и условию несжимаемости, получим

$$d\varepsilon_z^p + 2d\varepsilon_\theta^p = \frac{d\sigma_\theta}{\sigma_\theta}. \quad (18)$$

Подставляя сюда значения $d\bar{\varepsilon}_z^p$, $d\bar{\varepsilon}_\theta^p$, $d\sigma_\theta$ и σ_θ , после преобразований получаем

$$\frac{d\sigma_\theta}{d\bar{\varepsilon}_\theta^p} = \frac{3\sigma_\theta}{2\sqrt{q^2 - q + 1}}. \quad (19)$$

Область применимости равенств (16) и (19) установим из их совместного решения, откуда следует, что их общей точкой является $q = 2$.

Как видно, нарушение устойчивости процесса деформирования происходит при уровнях напряжений, соответствующих различным значениям касательного модуля. Полагая, что

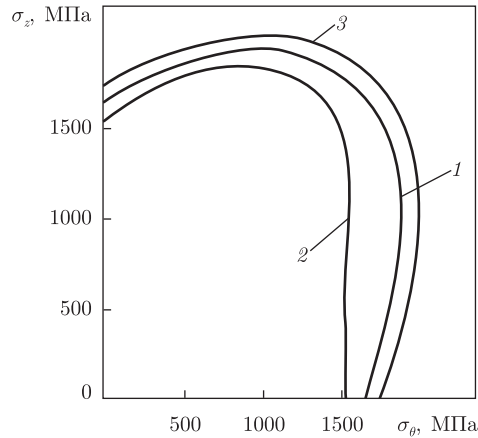


Рис. 1. Нижние границы предельных напряжений в оболочке при разных уровнях пластичности материала

упрочнение материала описывается степенным законом, выражения (16) и (19) представим в конечном виде [3]:

$$\begin{aligned} \bar{\varepsilon}_\theta^p &= \frac{2}{3} \sqrt{q^2 - q + 1} \bar{\varepsilon}^p & \left(q = \frac{\sigma_z}{\sigma_\theta} = 0, \dots, 2 \right); \\ \bar{\varepsilon}_z^p &= \frac{2\sqrt{m^2 - m + 1}}{2 - m} \bar{\varepsilon}^p & \left(m = \frac{1}{q}; q = 2, \dots, \infty \right), \end{aligned} \quad (20)$$

где $\bar{\varepsilon}^p$ — равномерная составляющая остаточного удлинения при одноосном растяжении.

Используя полученные соотношения, определим в качестве примера нижнюю границу интервала рассеяния предельных напряжений применительно к рассмотренной выше оболочке, изготовленной из высокопрочной стали 28ХЗСНМВФА мартенситного класса, в области $\sigma_z > 0, \sigma_\theta > 0$. Эта сталь имеет следующие характеристики [3]: $\sigma_B = 1740$ МПа, $D_{\sigma_{вз}, \bar{\varepsilon}^p=0,03} = 29$ МПа, $a = 0,27; b = 22,6$. Построенные при $K = 3$ описанным выше способом нижние границы интервала рассеяния предельных напряжений, соответствующие различным уровням пластичности $\bar{\varepsilon}^p$, приведены на рис. 1, где 1, 2 — нижние границы соответственно при $\bar{\varepsilon}^p = 3$ и 0,5%, 3 — граница, построенная по условию (4), (σ_B — среднее значение предела прочности). Как видно, при снижении пластичности нижняя граница указанного интервала сокращается, причем в разных направлениях неодинаково. Наиболее интенсивное ее сокращение наблюдается при соотношении напряжений $\sigma_z/\sigma_\theta = 0,5$, которое соответствует минимальной пластичности. Отмеченная закономерность согласуется с экспериментальными данными, приведенными в работах [3, 4].

Таким образом, на основании проведенного исследования можно отметить, что рассмотренный подход позволяет определять расчетным путем в вероятностной постановке нижнюю границу интервала рассеяния разрушающих напряжений в элементах оболочечных конструкций в зависимости от уровня пластичности материала, из которого они изготовлены.

1. Лебедев А. А., Музыка Н. Р., Волчек Н. Л. Определение поврежденности конструкционных материалов по параметрам рассеяния характеристик твердости // Пробл. прочности. — 2002. — № 4. — С. 5–12.
2. Бастун В. Н. О влиянии геометрической формы конструкции на ее несущую способность // Прикл. механика. — 1973. — 9, № 8. — С. 57–63.

3. Каминский А. А., Бастун В. Н. Деформационное упрочнение и разрушение металлов при переменных процессах нагружения. – Киев: Наук. думка, 1985. – 165 с.
4. Lebedev A. A., Kovalchuk B. I., Giginyak F. F., Lamashevsky V. P. Handbook of mechanical properties of structural materials at a complex stress state. – New York: Begell, 2001. – 500 p.
5. Шалаев А. Н. Действие ионизирующих излучений на металлы и сплавы. – Москва: Атомиздат, 1967. – 210 с.
6. Бабич Д. В. О напряженно-деформированном состоянии тонкостенных конструкций при радиационных воздействиях // Прикл. механика. – 2003. – **39**, № 8. – С. 95–103.
7. Болотин В. В. Статистические методы в строительной механике. – Москва: Госстройиздат, 1961. – 201 с.
8. Румицкий Л. Э. Математическая обработка результатов эксперимента. – Москва: Наука, 1971. – 265 с.

*Институт механики им. С. П. Тимошенко
НАН Украины, Киев*

Поступило в редакцию 15.02.2012

В. М. Бастун

До оцінки нижньої межі інтервалу розсіяння граничних напружень в елементах оболонкових конструкцій

Запропоновано підхід до оцінки нижньої межі інтервалу розсіяння граничних напружень в елементах оболонкових конструкцій у ймовірнісній постановці на основі кореляційного зв'язку параметрів розкиду межі міцності з характеристиками пластичності матеріалу. Як приклад розглянуто тонкостінну кругову циліндричну оболонку, виготовлену з високоміцної сталі мартенситного класу та навантажену осьовою розтягальною силою і внутрішнім тиском.

V. N. Bastun

On the estimation of the lower boundary of a dispersion interval of limiting stresses in shell structure elements

An approach to the estimation in the probabilistic statement of the lower boundary of a dispersion interval of limiting stresses in elements of shell structures is proposed. The approach is based on a correlation of the dispersion parameters of an ultimate strength with plasticity characteristics of a material. As an example, a thin-walled circular cylindrical shell is considered. The shell, which is made of a high-strength martensitic steel, is acted upon by the axial tensile force and the internal pressure.